

06.1; 06.2; 09

© 1993

ВЛИЯНИЕ ГРЕЮЩЕГО СВЧ ПОЛЯ
НА ВИД ВОЛЬТ-АМПЕРНОЙ ХАРАКТЕРИСТИКИ
ТУННЕЛЬНОГО ДИОДА

Д.А. Усанов, А.В. Скрипаль,
Б.Н. Коротин, В.Е. Орлов

Из экспериментов известно, что при воздействии на туннельный диод внешнего СВЧ сигнала происходит изменение вида его вольт-амперной характеристики (ВАХ) от N -образного к близкому к экспоненциальному [1].

В настоящем сообщении приведены результаты теоретического анализа влияния внешнего СВЧ поля на вид вольт-амперной характеристики туннельного диода.

Известно, что полный ток туннельного диода представляет собой сумму тока туннелирования из зоны в зону I_T , избыточного I_e и диффузионного I_d токов [2]. Воздействие внешнего СВЧ сигнала должно приводить к разогреву электронного газа в туннельном диоде, который можно учесть, подставляя в выражения для избыточного и диффузионного токов функции распределения Ферми-Дирака для электронов в зоне проводимости f_{CT} и валентной зоне f_{VT} с электронной температурой T :

$$I_T = A \cdot T_t \cdot \int_{\varepsilon_c}^{\varepsilon_V} [f_{CT}(\varepsilon) - f_{VT}(\varepsilon)] g_c(\varepsilon) \cdot g_v(\varepsilon) d\varepsilon, \quad (1)$$

$$I_e = A' \cdot D \cdot \exp \left\{ -\alpha' [\varepsilon_g - qV + [\zeta_n(T) - \varepsilon_c] + [\varepsilon_v - \zeta_p(T)]] \right\}, \quad (2)$$

где ζ_x – вероятность туннельного перехода электрона через потенциальный барьер между Р и П областями; A' , A и α' – константы, $g_c(\varepsilon)$ и $g_v(\varepsilon)$ – плотности энергетических состояний в зоне проводимости и валентной зоне соответственно; D – плотность заполненных состояний, расположенных в запрещенной зоне выше потолка валентной зоны на величину ε_x , определяемую выражением

$$\varepsilon_x = \varepsilon_g - qV + (\zeta_n - \zeta_c) + (\varepsilon_v - \zeta_p),$$

ε_g – ширина запрещенной зоны, ε_c и ε_v – уровни энергий, соответствующие дну зоны проводимости и потолку валентной зоны, ζ_n и ζ_p – квазиуровни Ферми в полупроводниках П и Р типа, V – приложенное напряжение.

Выражение для диффузионного тока, представляющего собой ток инжекции неосновных носителей заряда в р-п-переходе, может быть

получено в результате решения системы диффузионных уравнений:

$$\begin{aligned} \frac{d^2 p_n}{dx^2} - \frac{p_n - p_{n0}}{L_p^2} &= 0, \\ \frac{d^2 n_p}{dx^2} - \frac{n_p - n_{p0}}{L_n^2} &= 0, \end{aligned} \quad (3)$$

где L_p, L_n – диффузионные длины дырок и электронов.

Для определения граничной концентрации электронов в р-области вблизи р-п-перехода в случае разогрева электронного газа СВЧ полем аналогично тому, как это было предложено в [3], воспользуемся соотношением:

$$n_{pr} = n_n \int_{\varepsilon_c + qV_{TK}}^{\infty} B_T \cdot f_{cr}(\varepsilon) d\varepsilon, \quad (4)$$

где $V_{TK} = V_K + V_T$ – контактная разность потенциалов на границе р-п-перехода при воздействии на него греющего СВЧ поля, V_T – напряжение, появляющееся во внешней цепи при разогреве электронного газа, B_T – константа, определяемая из условия нормировки:

$$\int_{\varepsilon_c}^{\infty} B_T \cdot f_{cr}(\varepsilon) d\varepsilon = 1. \quad (5)$$

Тогда избыточная концентрация электронов в р-области вблизи р-п-перехода при разогреве носителей заряда с учетом выражений (4), (5), равна

$$\Delta n_{pr} = n_{pr} - n_{p0} = n_{p0} \left\{ \frac{kT}{\xi_n(T) - \xi_c} \cdot \frac{\xi_n(T_0) - \xi_c}{kT_0} \cdot \exp \left(\frac{qV_K}{kT_0} - \frac{\xi_n(T_0) - \xi_c}{kT_0} \right) \times \right. \\ \left. \times \ln \left[1 + \exp \left(\frac{\xi_n(T) - \xi_c}{kT} - \frac{qV_K}{kT} - \frac{qV_T}{kT} \right) \right] - 1 \right\}. \quad (6)$$

Здесь T_0 – температура решетки, n_{p0} – концентрация электронов в р-области в отсутствии внешнего СВЧ сигнала. Аналогично получается выражение для избыточной концентрации дырок в п-области вблизи р-п-перехода при разогреве носителей заряда Δp_{nr} .

Решение системы уравнений (3) с учетом граничных условий (6) и равенства нулю концентраций добавочных электронов и дырок на большом расстоянии от р-п-перехода позволяет получить выражение для диффузионной компоненты полного тока тунNELьного диода в условиях разогрева носителей заряда, которое имеет вид:

$$I_d = \frac{q S D_n n_{po}}{L_n} \left\{ \frac{kT}{\xi_n(T) - \xi_c} \cdot \frac{\xi_n(T_0) - \xi_c}{kT_0} \cdot \exp \left(\frac{qV_K}{kT_0} - \frac{\xi_n(T_0) - \xi_c}{kT_0} \right) \times \right. \\ \times \ln \left[1 + \exp \left(\frac{\xi_n(T) - \xi_c}{kT} - \frac{qV_K}{kT} - \frac{qV_T}{kT} \right) \right] - 1 \left. \right\} + \\ + \frac{q \cdot S \cdot D_p \cdot p_{no}}{L_p} \left\{ \frac{kT}{\xi_V - \xi_p(T)} \cdot \frac{\xi_V - \xi_p(T_0)}{kT_0} \cdot \exp \left(\frac{qV_K}{kT_0} - \frac{\xi_V - \xi_p(T_0)}{kT_0} \right) \times \right. \\ \times \ln \left[1 + \exp \left(\frac{\xi_V - \xi_p(T)}{kT} - \frac{qV_K}{kT} - \frac{qV_T}{kT} \right) \right] - 1 \left. \right\}, \quad (7)$$

D_n , D_p – коэффициенты диффузии электронов и дырок, S – площадь поперечного сечения р-п-перехода.

Для определения температуры электронного газа сильно вырожденного полупроводника в условиях его разогрева электрическим полем воспользуемся уравнением баланса энергии, которое в равновесном случае при использовании понятия времени релаксации энергии τ_ε имеет вид:

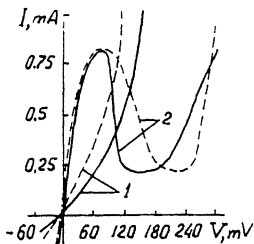
$$\mu_n q E^2 = \frac{\langle \varepsilon(T) \rangle - \langle \varepsilon(T_0) \rangle}{\tau_\varepsilon}, \quad (8)$$

где E – напряженность электрического поля, $\langle \varepsilon(T) \rangle$ и $\langle \varepsilon(T_0) \rangle$ – средние энергии носителей заряда при воздействии греющего СВЧ поля и без него соответственно. Выражение для $\langle \varepsilon(T) \rangle$ имеет следующий вид:

$$\langle \varepsilon(T) \rangle = \frac{\int_{\xi_c}^{\infty} (\varepsilon - \xi_c) f_{cr}(\varepsilon) g_c(\varepsilon) d\varepsilon}{\int_{\xi_c}^{\infty} f_{cr}(\varepsilon) g_c(\varepsilon) d\varepsilon} = \frac{3}{2} kT \cdot \frac{F_{3/2}(\gamma)}{F_{1/2}(\gamma)}, \quad (9)$$

$\gamma = \frac{\xi_n(T) - \xi_c}{kT}$ – приведенный уровень Ферми, $F_{1/2}$, $F_{3/2}$ – интегралы Ферми порядка 1/2 и 3/2 соответственно, которые в случае сильного вырождения могут быть аппроксимированы соответствующими степенными рядами:

$$F_{1/2}(\gamma) = \frac{4}{3\sqrt{\pi}} \cdot \gamma^{3/2}, \quad F_{3/2}(\gamma) = \frac{4}{3\sqrt{\pi}} \cdot \frac{2}{5} \left(\gamma^{5/2} + \frac{5}{8} \gamma^2 \gamma^{1/2} \right). \quad (10)$$



Вольт-амперные характеристики туннельного диода при воздействии внешнего СВЧ сигнала мощностью 2.0 мВт (кривые – 1) и без него (кривые – 2); пунктир – теория, сплошная линия – эксперимент.

Подстановка (9) в (8) с учетом (10) позволяет получить выражение, связывающее температуру электронного газа с напряженностью греющего электрического поля:

$$T^2 = T_0^2 + \frac{8}{3} \frac{1}{\pi^2} \frac{\xi_n(T) - \xi_c}{k} \mu_n q E^2 \sigma_\varepsilon.$$

Аналогично может быть получено выражение для температуры дырочного газа. Полученные выше выражения (1), (2), (7) для туннельной, избыточной и диффузионной компоненты полного тока туннельного диода с учетом соотношения (11), связывающего температуру носителей заряда с напряженностью греющего СВЧ поля, были использованы для расчета ВАХ туннельного диода при воздействии на него внешнего СВЧ сигнала.

Результаты расчета ВАХ туннельного диода $I(V)$ при воздействии на него СВЧ сигнала и при отсутствии внешнего сигнала представлены на рисунке. На этом же рисунке представлены экспериментальные характеристики туннельного диода.

Сравнение результатов расчета с экспериментальными кривыми свидетельствует об их качественном совпадении. Из результатов расчета следует, что при увеличении амплитуды внешнего СВЧ сигнала происходит, обусловленное разогревом носителей заряда, уменьшение туннельной компоненты и резкое увеличение диффузионной компоненты полного тока, чем и обуславливается качественное изменение вида ВАХ диода, при этом избыточная компонента полного тока туннельного диода изменяется сравнительно слабо.

Список литературы

- [1] Усанов Д.А., Коротин В.Н., Орлов В.Е., Скрипаль А.В. – Снятие вырождения в р и п-областях туннельного диода внешним СВЧ сигналом // Письма в ЖТФ. 1990. Т. 16. В. 8. С. 50–51.

- [2] Chynoweth A.G., Fieldman W.L.,
Logan R.A. Excess Tunnel Current in Silicon
Esaki Junctions // Phys. Rev. 1961. V. 121. N 3.
P. 684-694.
- [3] Вейнгер А.И., Парицкий Л.Г., Акопян З.А.,
Дадамирзаев Г. ТермоЭДС горячих носителей тока
на р-п-переходе // ФТП. 1975. Т. 9. В. 2. С. 216-224.

Поступило в Редакцию
3 февраля 1993 г.